

05.4; 12

© 1992

ЗАЩИТА СИЛЬНОТОЧНЫХ КОНТАКТОВ
ВТСП-МЕТАЛЛ С ПОМОЩЬЮ УПРАВЛЯЕМОГО
ТЕКСТУРИРОВАНИЯ ТОКОНЕСУЩЕГО ЭЛЕМЕНТА

А.Ю. В о л к о в, А.А. Б у ш,
С.Н. Г о р д е е в

Разработка технологий низкоомных механически прочных токовых контактов в ВТСП элементах имеет важное значение как для практических применений, так и для проведения исследовательских работ. В частности, неоднократно отмечалось, что качество токовых контактов и их нагрев измерительным током оказывают значительное влияние на результаты измерений различных параметров сверхпроводников [1, 2].

Как известно, именно приконтактные участки сильноточных токонесущих элементов являются наиболее слабыми местами и первыми выходят из строя от тепловых нагрузок [3, 4]. Это связано с тем, что на сегодняшний день не существует сверхпроводящих контактов к ВТСП. Из известных авторам работ, наиболее низкоомных контакты при 77 К имеют удельное поверхностное сопротивление $\sim 10^{-9} - 10^{-12}$ Ом·см² [5-7]. Однако даже при малых контактных сопротивлениях имеет место разогрев приконтактных участков джоулевым теплом, что вызывает уменьшение плотности критического тока j_c на этих участках, причем это снижение продолжается по мере увеличения времени протекания тока через контакты [7]. В результате развития этого процесса слой, непосредственно примыкающий к границе раздела металл-сверхпроводник, первым переходит в нормальное состояние. Поскольку удельное сопротивление металлокерамики довольно велико ($\sim 1.0 \text{ м}\Omega\text{м} \times \text{см}$), тепловыделение в нормальном участке резко возрастает и нормальная зона за счет саморазогрева начинает распространяться по образцу [9]. Этот скачок тепловыделения приводит к отгоранию и разрушению контактов [4].

Кроме того, в несверхпроводящих приконтактных участках, особенно в области положительного электрода, под действием постоянного тока происходит электролиз керамики. Процесс сопровождается изменением состава ВТСП и понижением j_c [3, 8].

Итак, тепловые и связанные с ними электрохимические процессы ведут к порче контактов. Учитывая, что все перечисленные факторы накладывают серьезные ограничения на эксплуатационные характеристики и надежность сильноточных ВТСП элементов, легко понять необходимость разработки способа защиты токовых контактов. Это особенно важно для ВТСП устройств, элементы которых

подвергаются длительным воздействиям транспортного тока и внешнего магнитного поля (мощные криотроны, выключатели и ограничители тока, индуктивные накопители энергии и т.п.). Особую остроту проблема контактов приобретет в случае использования и исследования токонесущих ВТСП элементов в режимах, близких к критическим по магнитному полю и/или по плотности тока. Заметим, что разрушение контактов нежелательно еще и потому, что изготовление их зачастую основано на специальной (иногда длительной и трудоемкой) обработке материала и требует применения ценных благородных металлов (*Au*, *Ag*, *Pt*) [7]. Вообще говоря, для сильноточных устройств (например, выключателей) на основе низкотемпературных сверхпроводников разработаны способы защиты токонесущего элемента от перегорания в месте появления нормальной зоны путем компенсации рабочего тока. За появлением этой зоны следят потенциальные контакты, расположенные между токовыми. Однако в случае использования токонесущих элементов из ВТСП этот способ защиты не работает, так как области тепловыделения у них возникают именно на токовых контактах, вне пределов чувствительности потенциальных.

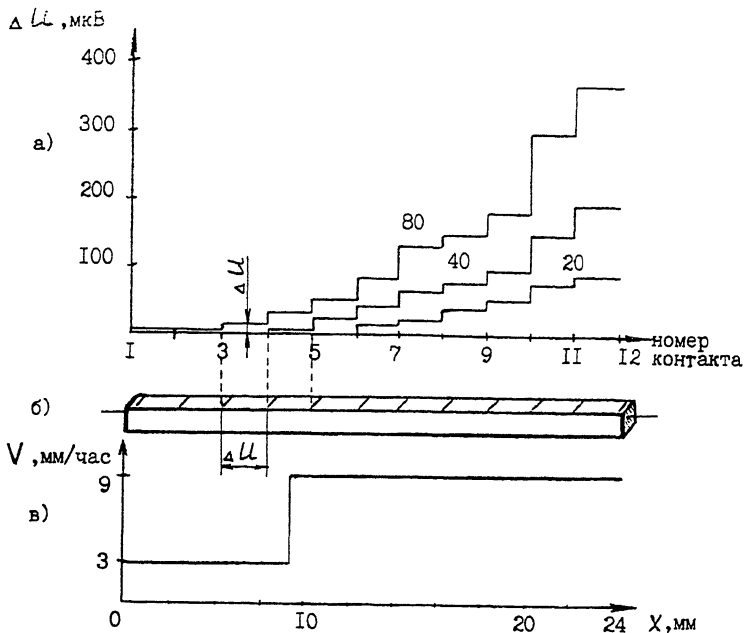
Таким образом, проблема защиты сильноточных контактов к ВТСП элементам требует специального подхода, учитывающего особенности этого материала.

Для решения этой задачи нами предложено в процессе изготовления токонесущего элемента формировать его приконтактные участки из ВТСП с более высокими критическими параметрами. В этом случае при нарастании тока через образец, его переход в нормальное состояние начнется в удаленных от контактов участках, имеющих более низкие значения j_c , что позволяет принять меры по ограничению тока до разрушения контактов. В основе данного способа защиты лежит изученная ранее зависимость критических параметров ВТСП от направления оси и степени текстурирования при получении образцов методом бестигельной зонной плавки с оптическим нагревом (ОЗП) [10-12].

Для изучения эффективности защиты контактов по нашей технологии управляемого текстурирования с помощью ОЗП изготовлен токонесущий элемент в виде параллелепипеда размерами 1x2x24 мм. Один из концов образца выращивался со скоростью 3 мм/ч, остальные участки – 9 мм/ч. Полученный текстурированный образец содержал кристаллиты с ориентированными параллельно направлению тока плоскостями (а, в), причем участок со скоростью роста 3 мм/ч имел повышенную степень текстурирования. Указанная структура образца обеспечивает максимальное значение j_c , а также минимальное удельное сопротивление и тепловыделение в нормальном состоянии в приконтактном участке.

С помощью серебряной пасты на торцы параллелепипеда были нанесены токовые контакты, а на одну из боковых граней – параллельные полоски потенциальных контактов с шагом 2 мм.

Все потенциальные контакты соединялись с коммутационным устройством, позволяющим измерять разность потенциалов *AU*.



- а) Распределение разности потенциалов ΔU между парами потенциальных контактов 1-12 при разных транспортных токах ($\text{A}/\text{см}^2$) через образец; б) расположение на образце потенциальных и токовых контактов; в) скорость роста V участков при изготовлении образца (метод ОЗП) в зависимости от текущей координаты x .

между любой парой соседних контактов. Сопротивление обоих токовых контактов $\sim 0.2 \text{ Ом}$. Использование токонесущего элемента с повышенной j_c в области одного контакта и традиционным изготовлением второго контакта на однородно текстурированном участке дает возможность сравнения условий работы и степени защищенности двух контактов.

На рисунке в виде гистограммы представлено изменение величины ΔU вдоль образца при протекании по нему разных по силе транспортных токов – 0.4, 0.8 и 1.6 А (20, 40 и 80 $\text{A}/\text{см}^2$ соответственно). Все измерения проводились в жидком азоте, в магнитном поле 8 кЭ, ориентированном перпендикулярно направлению тока. Как видно из гистограммы, ток 0.4 А (20 $\text{A}/\text{см}^2$) является критическим для правой части образца и вызывает заметный разогрев незащищенного правого контакта. Приконтактный левый участок (потенциальные контакты 1-4) начинает переходить в нормальное состояние только при токе 1.6 А (80 $\text{A}/\text{см}^2$), когда правый „традиционный“ контакт уже работает в режиме перегрева. Эффект

защиты достигается благодаря тому, что даже „подогретая“ тепловыделением на ненулевом контактном сопротивлении текстура левого приконтактного участка имеет более высокие критические параметры, чем середина образца.

Таким образом, использование метода управляемого текстурирования позволяет защитить от перегрева контакты сильноточного ВТСП-элемента, который по условиям работы должен переходить в нормальное состояние (например, клапан криотрона или ключа типа [13]).

С п и с о к л и т е р а т у р ы

- [1] Caton R., Selim R., Bui oncris - tianni A.M., Buvik C.E. // Appl. Phys. Lett. 1988. V. 52. N 12. P. 1014-1016.
- [2] Таранин Д.А., Филиппьев В.С. В сб.: Проблемы ВТСП. Изд. Ростовского университета, 1990. Ч. 1. С. 122-127.
- [3] Таранин Д.А., Филиппьев В.С., Козаков А.Т., Фесенко Е.Г. В сб.: Проблемы ВТСП. Изд. Ростовского университета, 1990. Ч. 1. С. 128-134.
- [4] Шпак В.Г., Яландин М.И. // Материалы совещания „Проблемы ВТСП“. 1987. Свердловск. Ч. 11. С. 246-247.
- [5] Jin S., Davis M., Tiefel T.H. et al. // Appl. Phys. Lett. 1989. V. 54. N 25. P. 2605-2607.
- [6] Ekin J.W., Larson T.M., Bergren N.F. et al. // Appl. Phys. Lett. 1988. V. 52. N 21. P. 1819-1821.
- [7] Гогава Л.А., Джапаридзе Е.Г., Канделаки А.К., Накайдзе Дж.М., Накашидзе Г.А., Хелаишвили Л.Т. // СФХТ. 1991. Т. 4. № 5. С. 983-986.
- [8] Нифедов В.И., Соколов А.Н., Бельский Н.К., Очертянова Л.И., Козаков А.Т., Демьянченко А.В., Рамендин Г.И. // СФХТ. 1991. Т. 4. № 5. С. 987-990.
- [9] Сиваков А.Г., Турутанов О.Г., Волоцкая В.Г., Дмитриенко И.М. В сб.: Тез. докл. II Всес. конф. по ВТСП. 1988. Киев. Т. 11. С. 48-49.
- [10] Буш А.А., Сиротинкин В.П., Гордеев С.Н., Дубенок И.С., Титов Ю.В. // СФХТ. 1989. Т. 2. № 5. С. 71-75.

- [11] Б у ш А.А., Д у б е н к о И.С., М р о с т С.Э.,
Р о м а н о в Б.Н., Т и т о в Ю.В. // СФХТ. 1990.
Т. 3. № 3. С. 432-441.
- [12] Л а р т е в А.Г., В у с ч А.А., Р о м а -
н о в В.Н. // Abstr. Intern. Conf. on Supercon-
ductivity and Localisation Phenomena. 1991. Mos-
cow. Р. М30.
- [13] T z e n g Y., C u t s h a w C., R o p -
p e l T. et al. // Appl. Phys. Lett. 1989. V. 54.
N 10. Р. 949-950.

Обнинский институт
атомной энергетики

Московский институт
радиотехники, электроники
и автоматики

Поступило в Редакцию
24 апреля 1992 г.